

**ДВУХПАРАМЕТРИЧЕСКОЕ РЕШЕНИЕ ЗАДАЧИ О СВОБОДНОЙ
КОНВЕКЦИИ В БЛИЗИ ВЕРТИКАЛЬНОЙ НЕИЗОТЕРМИЧЕСКОЙ ПЛАСТИНЫ**

Н. Л. ЗОЛОТОВ

(Ленинград)

В статье [1] было приведено однопараметрическое решение системы универсальных уравнений для свободной конвекции вблизи вертикальной пластины, справедливое для произвольного распределения температуры по ее поверхности. В частности, было показано, что для задачи с синусоидальным распределением даже в первом приближении уже получалось удовлетворительное совпадение с точным решением.

Для случая чисто гидродинамической задачи об обтекании тела с заданным распределением скорости на внешней границе пограничного слоя второе, двухпараметрическое приближение дает для частной задачи с синусоидальным распределением скорости практически почти полное совпадение с точным решением [2].

В настоящей статье рассматривается задача, приводящая к двум связанным между собой дифференциальным уравнениям. Представилась возможность убедиться в том, что и в этом более сложном случае быстрота сходимости метода обобщенного подобия позволяет ограничиться двухпараметрическим приближением для получения решений, близких к точным численным решениям конкретных задач.

1. Решение универсальных уравнений свободной конвекции вблизи неизотермической вертикальной пластины в двухпараметрическом приближении. В двухпараметрическом приближении универсальные уравнения свободной конвекции вблизи неизотермической вертикальной пластины и соответствующие им граничные условия имеют вид [1]

$$\begin{aligned}
 & \ddot{u} + \left(\lambda_1 + \frac{3}{4} \lambda_1^* \right) \Phi \dot{u} - \left(\lambda_1 + \frac{1}{2} \lambda_1^* \right) u^2 + S = \\
 & = (\lambda_1 \lambda_1^* + \lambda_2) \left(u \frac{\partial u}{\partial \lambda_1} - \frac{\partial \Phi}{\partial \lambda_1} \dot{u} \right) + (2\lambda_1^* + \lambda_1) \lambda_2 \left(u \frac{\partial u}{\partial \lambda_2} - \frac{\partial \Phi}{\partial \lambda_2} \dot{u} \right), \\
 (1.1) \quad & \frac{S}{\sigma} + \left(\lambda_1 + \frac{3}{4} \lambda_1^* \right) \Phi S - \lambda_1 u S = (\lambda_1 \lambda_1^* + \lambda_2) \left(u \frac{\partial S}{\partial \lambda_1} - \frac{\partial \Phi}{\partial \lambda_1} S \right) + \\
 & + (2\lambda_1^* + \lambda_1) \lambda_2 \left(u \frac{\partial S}{\partial \lambda_2} - \frac{\partial \Phi}{\partial \lambda_2} S \right)
 \end{aligned}$$

$$(1.2) \quad \lambda_1^* = - \frac{4}{3\sigma} S(0, \lambda_1, \lambda_2) + \frac{8}{3} \lambda_1$$

$$(1.3) \quad \Phi = u = 0, \quad S_w = 1, \quad \eta = 0; \quad u \rightarrow 0, \quad S \rightarrow 0, \quad \eta \rightarrow \infty$$

Здесь u — безразмерная продольная скорость; Φ — безразмерная функция тока; S — безразмерная температура; λ_1 и λ_2 — первый и второй из учитываемых параметров подобия; точка над буквой — производная по безразмерной поперечной координате η .

Система (1.1) была численно проинтегрирована с использованием метода итераций [3]. Уравнения в конечно-разностных отношениях решались методом простой прогонки [4]. За начальную точку расчета принималась точка $(\lambda_1=0, \lambda_2=0)$. В отличие от работы [3] при переходе к новому значению λ_2 в начальной точке $(\lambda_1=0, \lambda_2 \neq 0)$ величины $(\partial u / \partial \lambda_1)$, $(\partial \Phi / \partial \lambda_1)$ и $(\partial S / \partial \lambda_1)$ брались при старом значении λ_2 . Удалось получить полное двухпараметрическое решение системы (1.1) в областях

$$-1.90 \leq \lambda_1 \leq 0, \quad -1.95 \leq \lambda_2 \leq 0; \quad -1.90 \leq \lambda_1 \leq 0, \quad 0 \leq \lambda_2 \leq 1.0$$

$$0 \leq \lambda_1 \leq 0.25, \quad -0.05 \leq \lambda_2 \leq 0; \quad 0 \leq \lambda_1 \leq 0.25, \quad 0 \leq \lambda_2 \leq 1.95$$

Расчеты проводились при числе Прандтля $\sigma=0.7$ и шагах $\Delta\eta=0.2$, $\Delta\lambda_1=-0.1$, $\Delta\lambda_1=0.025$, $\Delta\lambda_2=\pm 0.05$.

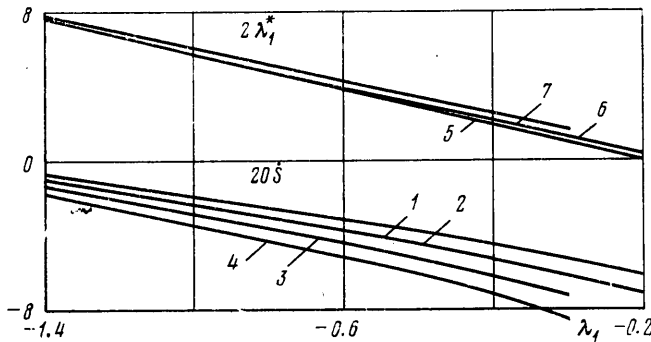
На фиг. 1 приведены результаты численного интегрирования универсальных уравнений (1.1), показаны графики универсальных функций $S(0, \lambda_1, \lambda_2)$ (кривым 1–4 соответствуют значения $\lambda_2=1.0, 0, -1.0, -1.95$) и $\lambda_1^*(\lambda_1, \lambda_2)$ (кривым 5–7 соответствуют $\lambda_2=1.0, 0, -1.95$).

2. Обсуждение результатов. Как видно из фиг. 1, кривые $\lambda_1^*(\lambda_1, \lambda_2)$ тесно группируются и близки к линейному закону; наблюдается почти полное отсутствие зависимости уклона этих кривых от параметра λ_2 и лишь небольшой сдвиг их вдоль оси λ_1 . Согласно (2), справедливо соотношение

$$(2.1) \quad \lambda_1^*(\lambda_1, \lambda_2) = a(\lambda_2) - b\lambda_1 + \varepsilon(\lambda_1, \lambda_2)$$

Слагаемое $\varepsilon(\lambda_1, \lambda_2)$ характеризует отклонение $\lambda_1^*(\lambda_1, \lambda_2)$ от линейной зависимости и легко табулируется, если a и b уже выбраны.

При определении параметров λ_1 и λ_2 в функции от x можно довольствоваться однопараметрическим приближением [2]. При таком походе a и b могут быть принят



Фиг. 1

ты просто постоянными, а ε — функцией одного λ_1 . В этом случае, если прямую для приближенного представления действительной кривой $\lambda_1^*(\lambda_1)$ провести по касательной к ней в точке $\lambda_1=0$, то получим

$$(2.2) \quad \lambda_1^*(\lambda_1) = a - b\lambda_1; \quad a = 0.59, \quad b = 2.22, \quad \varepsilon = 0$$

Согласно [1, 2], справедливы соотношения

$$(2.3) \quad \lambda_1(x) = \frac{a\vartheta'}{\vartheta^b} \int_0^x \vartheta^{b-1}(\xi) d\xi; \quad \lambda_2(x) = \left[\frac{\lambda_1(x)}{\vartheta'} \right]^2 \vartheta \vartheta''$$

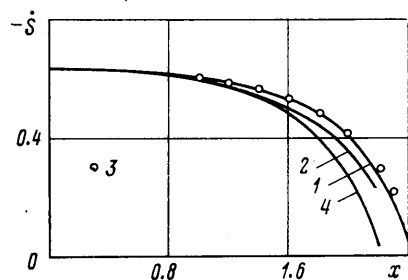
Здесь $\vartheta(x) = \beta[T_w(x) - T_\infty]$ — безразмерный перепад температур между поверхностью пластины и неподвижной жидкостью; штрих — производная по x .

Влияние второго параметра λ_2 существенно для определения приведенного теплового потока $S(0, x)$, для чего используются зависящие от параметра λ_2 кривые $S(0, \lambda_1, \lambda_2)$.

Проиллюстрируем применение результатов двухпараметрического решения универсальных уравнений (1.1) к частной задаче о свободной конвекции вблизи неизотермической вертикальной пластины с синусоидальным распределением температуры поверхности $\vartheta = \sin x$.

В каждом сечении x по формулам (2.3) определяем параметры $\lambda_1(x)$ и $\lambda_2(x)$. Применяя линейную интерполяцию результатов двухпараметрического решения, определяем соответствующий найденным значениям λ_1 и λ_2 приведенный тепловой поток $S(0, x)$, который на фиг. 2 сравниваем с точным численным решением, взятым из работы [5]. На фиг. 2 обозначено: 1 — точное численное решение; 2 — полное однопараметрическое решение; 3 — двухпараметрическое решение настоящей работы; 4 — локальное однопараметрическое решение.

Как видно из графика, если локальное однопараметрическое и полное однопараметрическое решения дают некоторое расхождение с точным численным решением, то учет второго параметра позволяет получить практически полное совпадение по методу обобщенного подобия с точным решением. Погрешность составляет менее 1%.



Фиг. 2

Данный частный пример иллюстрирует быстроту сходимости метода обобщенного подобия в задачах о свободной конвекции вблизи вертикальной неизотермической пластины.

Поступила 14 III 1980

ЛИТЕРАТУРА

1. Золотов Н. Л. Метод обобщенного подобия в задачах свободной конвекции с произвольным распределением температуры или теплового потока на вертикальной стенке. Изв. АН СССР. МЖГ, 1980, № 3.
2. Лойцянский Л. Г. Механика жидкости и газа. М., «Наука», 1978.
3. Озерова Е. Ф., Симуни Л. М. Численное решение уравнений двухпараметрической теории пограничного слоя. Тр. Ленингр. политехн. ин-та, 1970, № 313.
4. Годунов С. К., Рябенский В. С. Введение в теорию разностных схем. М., Физматгиз, 1962.
5. Kao T. T., Domoto G. A., Elrod H. G. Jr. Free convection along a nonisothermal vertical flat plate. Trans. ASME. J. Heat Transfer, 1977, vol. C 99, No. 1.

Технический редактор Е. В. Синицына

Сдано в набор 17.07.80 Подписано к печати 11.09.80 Т-16641 Формат бумаги 70×108^{1/16}
Высокая печать Усл. печ. л. 16,8 Уч.-изд. л. 19,1 Бум. л. 6 Тираж 1920 экз. Зак. 3290

Издательство «Наука». 103717 ГСП, Москва, К-62, Подсосенский пер., 21
2-я типография издательства «Наука». 121099, Москва, Шубинский пер., 10